

## ИССЛЕДОВАНИЕ ПАРАМЕТРОВ ПЛАЗМЫ В МАГНИТОПЛАЗМЕННОМ КОМПРЕССОРЕ

И.П. ДОЙЧИНОВИЧ<sup>1</sup>, М.Р. ГЕМИШИЧ<sup>2</sup>, Б.М. ОБРАДОВИЧ<sup>1</sup>,  
М.М. КУРАИЦА<sup>1</sup>, В.М. АСТАШИНСКИЙ<sup>3</sup>, Я. ПУРИЧ<sup>1</sup>

<sup>1</sup> Физический факультет Университета в Белграде,  
п.п.368, 11001 Белград, Югославия

<sup>2</sup> Центр науки и технологического развития,  
Обилићев венац 26, 11001 Белград, Югославия

<sup>3</sup> ИМАФ НАН Беларуси, Пр. Ф. Скарыны 70, 220072 Минск, Беларусь  
E-mail: ivbi@rudjer.ff.bg.ac.yu

**РЕЗЮМЕ.** Представлены результаты исследований интегральных характеристик разряда и динамических параметров плазмы в магнитоплазменном компрессоре компактной геометрии.

### 1. ВВЕДЕНИЕ

Магнитоплазменный компрессор (МПК) представляет собой источник квазистационарных компрессионных плазменных потоков (Морозов, 1967). В межэлектродном промежутке такого устройства осуществляется ускорение плазмы продольной составляющей амперовой силы, которая возникает при взаимодействии радиальной компоненты разрядного тока с собственным азимутальным магнитным полем (Ковров и др., 1974). Наряду с этим, на выходе разрядного устройства МПК формируется компрессионный плазменный поток, сжатие которого происходит за счет взаимодействия продольной составляющей разрядного тока (так называемого выносного тока) с его собственным азимутальным магнитным полем (Виноградова и др., 1974).

Интерес к исследованиям ускорительно-компрессионных систем вызван возможностью изучения фундаментальных вопросов течения плазмы в электромагнитных полях различной конфигурации и формирования высокоэнергетических плазменных потоков в таких устройствах, а также применением указанных систем для решения ряда практических задач, таких как разработка источников излучения для нужд атомной спектроскопии, плазменная обработка поверхностей и др.

### 2. ЭКСПЕРИМЕНТАЛЬНАЯ УСТАНОВКА

Эксперименты проводились на установке, схема которой изображена на Рис. 1. Внутренний электрод разрядного устройства МПК компактной геометрии выполнен из меди в виде усеченного конуса с диаметрами 3 и 0,6 см длиной 5 см с цилиндрической хвостовой частью длиной 6 см, а внешний электрод представляет собой цилиндр, образованный 8 медными стержнями диаметром 0,8 см и длиной 11,5 см, симметрично расположенными по окружности диаметром 5 см. Разрядное устройство МПК помещено в вакуумную камеру размера 0,3 м · 0,3 м · 1,2 м.

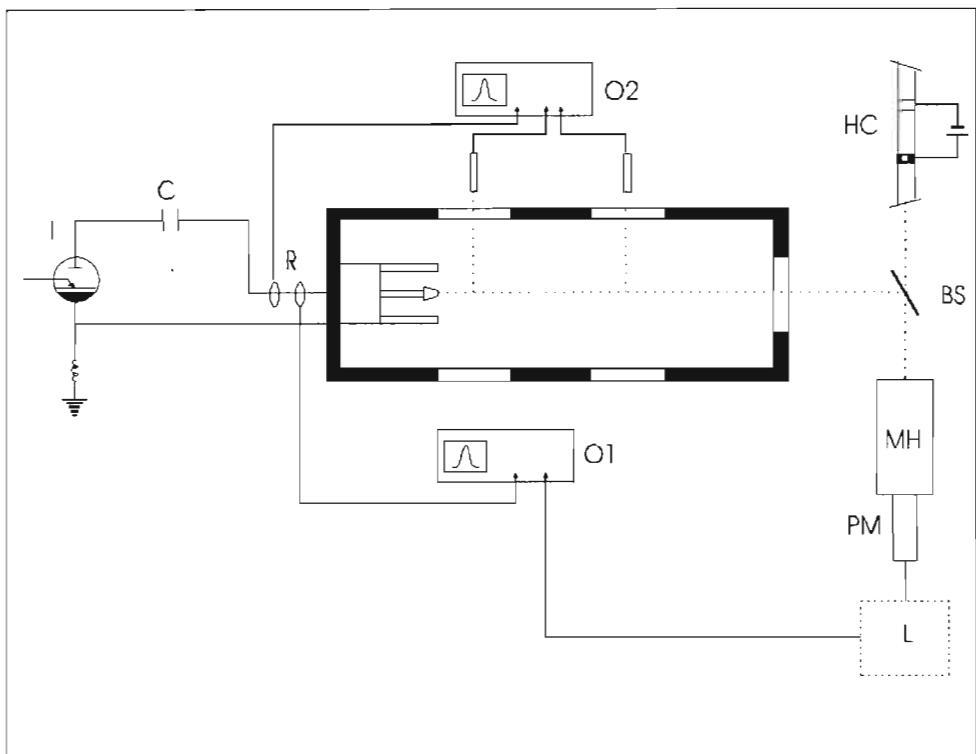


Рис. 1. Экспериментальная установка.  $O_1$ —осциллограф для регистрации сигнала с фотоумножителя,  $O_2$ —осциллограф для регистрации сигналов с фотодиодов,  $R$ —пояс Роговского,  $C$ —конденсаторная батарея,  $I$ —игнитронный разрядник,  $HC$ —разрядное устройство с полым катодом,  $BS$ —светоотделительная пластина,  $MH$ —монохроматор,  $PM$ —фотоумножитель,  $L$ —предусилитель.

Исследования проводили в режиме остаточного газа при начальном давлении смеси  $\text{Ar} + 3\% \text{ H}_2$  в камере  $P_0 = 100$  Па. Накопителем энергии МПК служила конденсаторная батарея ( $C$ ) общей емкостью 800 мкФ, которая соединялась с разрядным устройством через игнитронный разрядник ( $I$ ). Максимальное значение разрядного тока составляло  $\sim 70$  кА при начальном напряжении на конденсаторах  $U_0 = 3$  кВ. Ток разряда и падение напряжения на межэлектродном промежутке разрядного устройства МПК измеряли соответственно с помощью пояса Роговского ( $R$ ) и компенсированного RC-делителя напряжения. Сигналы с пояса Роговского и делителя напряжения регистрировались одновременно осциллографом Tektronix TDS3032.

Скорость переднего фронта плазмы определяли по время-пролетной методике с помощью двух фотодиодов, расположенных на расстоянии 60 см друг от друга. Запуск осциллографа осуществлялся сигналом с пояса Роговского.

Спектроскопические исследования проводили с помощью монохроматора ( $MH$ ) McPherson 218, работающего совместно с фотоумножителем ( $PM$ ) EMI 9816 QB, при регистрации излучения плазмы, суммарного за несколько разрядов, с торца разрядного устройства МПК. На каждой длине волны регистрировали интенсивность излучения плазмы из МПК и разрядного устройства с полым катодом ( $HC$ ). Излучение

плазмы МПК направляли на входную щель монохроматора с помощью светоделительной пластины (BS). Сигнал с фотоумножителя регистрировался осциллографом (O1) Tektronix TDS3032. Излучение из разрядного устройства с полым катодом, пройдя светоделительную пластину, падало на входную щель монохроматора, а затем регистрировалось фотоумножителем с предусилителем Linseis (L), сигнал с которого подавался на осциллограф (O1).

### 3. РЕЗУЛЬТАТЫ ЭКСПЕРИМЕНТАЛЬНЫХ ИССЛЕДОВАНИЙ

Типичные осциллограммы тока и напряжения разряда в МПК представлены на Рис. 2а. На основании полученных осциллограмм были построены вольт-амперная характеристика разряда (Рис. 2б) и изменение во времени мгновенной мощности  $P(t) = I(t) \cdot U(t)$  и вкладываемой в разряд энергии  $W(t) = \int I(t) \cdot U(t) dt$  (Рис. 2в). Видно,

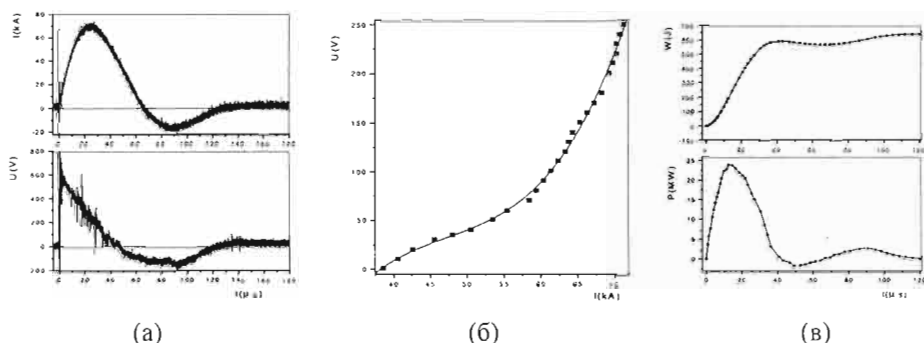


Рис. 2. Осциллограммы тока и напряжения (а), вольт-амперная характеристика разряда (б), изменение во времени мгновенной мощности и энергии (в).

что ввод энергии в разряд (Рис. 2в) заканчивается к концу первого полупериода тока ( $\sim 60$  мкс). Вольт-амперная характеристика (Рис. 2б), показывающая зависимость между напряжением и током в течение квазистационарной стадии разряда МПК (с 20 по 50 мкс), когда плазменный поток находится в устойчивом состоянии, является нелинейной. Наличие сдвига фаз между током и напряжением (Рис. 2а), указывают на отсутствие шунтирования разряда по поверхности изолятора, что, наряду с нелинейностью вольт-амперной характеристики, свидетельствует об эффективности работы МПК. Следует отметить, что полученные результаты хорошо согласуются с данными работы (Асташинский и др., 1989).

Скорость перемещения переднего фронта плазмы, определенная по времязадержке методике, составила в условиях эксперимента  $(90 \pm 30)$  км/с. Значения скорости, измеренные по смещению начала импульса и перемещению его вершины (Рис.3), отличаются друг от друга, что указывает на достаточно большую погрешность метода. Как можно видеть на

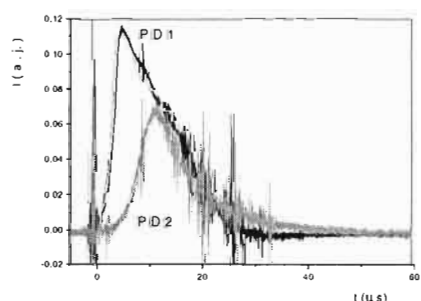


Рис. 3 Сигналы с первой (PD1) и второй (PD2) фотодиодов

Рис. 3, кривая (PD2) имеет более пологое начало и более пологую вершину по сравнению с импульсом (PD1). Кроме того, время от начала светового импульса до его максимума на кривой (PD2) больше, чем на кривой (PD1). Приведенные факты свидетельствуют о "расплывании" переднего фронта в процессе его движения.

Определение скорости перемещения возбужденных нейтральных атомов на переднем фронте плазмы проводили по доплеровскому сдвигу атомарной линии ArI 696.5 нм (3) при наблюдении с торца вакуумной камеры, вследствие чего монохроматор регистрировал излучение, усредненное по лучу зрения (т.е. по длине камеры). Контуры линий, полученные при регистрации излучения разряда из МПК (1) и полого катода (2) представлены на Рис. 4. Определенная таким образом скорость нейтралов аргона составила  $(100 \pm 20)$  км/с. Существование быстрых нейтралов может быть объяснено возбуждением атомов аргона на переднем фронте плазменного потока, столкновением быстрых ионов ArII и ArIII с атомами остаточного газа, а также возбуждением последних вследствие протекания выносных токов в объеме вакуумной камеры. Напомним здесь, что исследования проводили в режиме остаточного газа, когда предварительно откаченная вакуумная камера заполняется рабочим газом до заданного давления. Из анализа интенсивностей сдвигаемой и несдвигаемой линий следует, что количество возбужденных атомов аргона, движущихся к детектору, значительно меньше числа атомов в остальном объеме камеры.

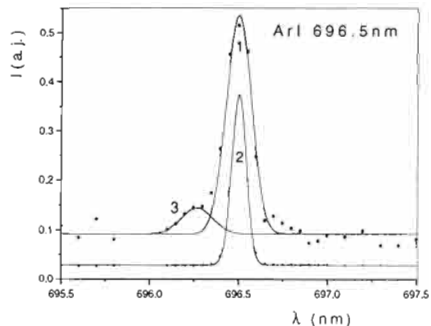


Рис. 4 Контуры линии ArI 696.5 нм полученных из разряда (1,3) и полого катода (2)

#### 4. ЗАКЛЮЧЕНИЕ

Проведенные исследования физических процессов в МПК компактной геометрии продемонстрировали достаточно высокую эффективность и надежность его работы, позволили установить факт "расплывания" переднего фронта плазменного потока в процессе его движения. Показано, что значения скорости переднего фронта плазмы, определенные по доплеровскому сдвигу атомарной линии ArI 696.5 нм и по времязаделенной методике, с учетом погрешностей экспериментов, находятся между собой в хорошем соответствии.

Авторы благодарны Н. Коневичу за полезное обсуждение результатов работы.

#### Литература

- Морозов А.И.: 1967, ЖТФ, 37, 2147.  
 Ковров П.Е., Шубин А.П.: 1974, В кн.: Физика и применение плазменных ускорителей, Минск, Наука и техника, 78.  
 Виноградова А.К., Морозов А.И.: 1974, В кн.: Физика и применение плазменных ускорителей, Минск, Наука и техника, 103.  
 Асташинский В.М., Баканович Г.И. и др., 1989, ЖПС, 50, 887.